



تابش گرمایی مبادله شده در ساختارهای کروی هم مرکز

سحر بیاتی^۱، احسان عموقریان^{۱, ۲} و علی مهدی فر^۱

^۱دانشگاه شهرکرد، دانشکده علوم، گروه فیزیک

^۲دانشگاه شهرکرد، گروه پژوهشی فوتونیک

چکیده-در این مقاله تابش گرمایی مبادله شده را در یک سامانه‌ی غیرتعادلی ولی ایستا بررسی می‌کنیم. سامانه مذبور متشکل از یک کره دیالکتریک پوشش داده شده است که دمای کره، پوشش و محیط خلاء اطراف، متفاوت در نظر گرفته می‌شوند. بدین منظور از روابط بدست آمده از کوانتش کانونی میدان‌های الکتریکی و مغناطیسی در حضور محیط‌های مادی و همچنین توابع هم‌بستگی بین مولفه‌های آن‌ها استفاده می‌کنیم. سپس با بکاربردن تansور گرین الکترومغناطیسی سامانه مذبور، مولفه شعاعی بردار پویین تینگ را محاسبه کرده و در نهایت به محاسبه عددی تابش گرمایی تبادلی بین این اجسام می‌پردازم.

کلید واژه- تابش گرمایی، تansور گرین الکترومغناطیسی، امواج منتشرشونده و ناپایا

Radiative heat transfer in the concentric spherical structures

Sahar Bayati¹, Ehsan Amooghorban^{1, 2} and Ali Mahdifar^{1, 2}

¹Department of Physics, Faculty of Science, Shahrekord University

²Photonics Research Group, Shahrekord University

Abstract-In this paper, we study the transferred thermal radiation in a non-equilibrium but stationary system. Aforementioned system composed of a coated dielectric sphere that is assumed the spherical, shell and vacuum have different temperatures. For this purpose, we use the obtained relations from the canonical quantization of electromagnetic fields in the presence of medium for electric and magnetic fields and as well as the correlation function of their components. Then, by using the Green tensor of the aforementioned system, we compute the radial component of Poynting vector. Finally, the numerical calculation of exchange thermal radiation among these objects is calculated.

Keyword- Radiative heat, Electromagnetic Green tensor, Propagating and evanescent waves

۲. روابط پایه

بردار پویین تینگ یک کمیت دینامیکی مناسب برای محاسبه شار گرمایی تابشی مبادله شده بین سامانه‌های ماکروسکوپی و همچنین میکروسکوپی است. از این‌رو در این مقاله از این کمیت برای محاسبه تابش گرمایی جذب شده توسط پوسته کروی شکلی که روی یک کره دی‌الکتریک نشانده شده و در شرایط ایستا و غیر تعادلی بسر می‌پردازیم (شکل ۱). بردار پویین تینگ برای بسامدهای مثبت به صورت زیر نوشته می‌شود:

$$\langle S_i(r,t) \rangle = 2 \operatorname{Re} \left\langle E_j(r,t) H_k^*(r,t) - E_k(r,t) H_j^*(r,t) \right\rangle, \quad (1)$$

که برآکتها اشاره به میانگین‌گیری آنسامبلی دارند و $\mathbf{E}(\mathbf{r},t)$ و $\mathbf{H}(\mathbf{r},t)$ میدان‌های الکتریکی و مغناطیسی هستند که در فضای بسامد بر حسب تانسور گرین الکترومغناطیسی سامانه به صورت زیر نوشته می‌شوند:

$$\mathbf{E}(\mathbf{r},\omega) = i\mu_0\omega \int d\mathbf{r}' \bar{\bar{\mathbf{G}}}_{Ee}(\mathbf{r},\mathbf{r}',\omega) \cdot \mathbf{j}^N(\mathbf{r}',\omega), \quad (2)$$

$$\mathbf{H}(\mathbf{r},\omega) = \int d\mathbf{r}' \bar{\bar{\mathbf{G}}}_{He}(\mathbf{r},\mathbf{r}',\omega) \cdot \mathbf{j}^N(\mathbf{r}',\omega).$$

در این جا $\bar{\bar{\mathbf{G}}}_{Ee}$ تانسور گرین الکترومغناطیسی سامانه است که معادله هلمهولتز در صدق $\nabla \times \bar{\nabla} \times -\frac{\omega^2}{c^2} \bar{\varepsilon}(\mathbf{r},\omega) = \bar{\bar{\mathbf{G}}}_{Ee}(\mathbf{r},\mathbf{r}',\omega) = i\mu_0\omega \mathbf{I} \delta(\mathbf{r}-\mathbf{r}')$ می‌شود. با توجه به این که میدان مغناطیسی مطابق معادلات ماسکول بصورت $\mathbf{H} = \nabla \times \mathbf{E}/i\mu_0\omega$ بر حسب میدان الکتریکی نوشته می‌شود، بنابراین تانسور گرین مغناطیسی به صورت $\bar{\bar{\mathbf{G}}}_{He}(\mathbf{r},\mathbf{r}',\omega) = \nabla \times \bar{\bar{\mathbf{G}}}_{Ee}(\mathbf{r},\mathbf{r}',\omega)$ بر حسب تانسور گرین سامانه نوشته می‌شود. همچنین در رابطه (۲) $\mathbf{j}^N(\mathbf{r},\omega) = -i\omega \mathbf{P}^N(\mathbf{r},\omega)$ بیانگر جریان قطبش نوفه است که از ماهیت اتلافی محیط‌های مادی ناشی می‌شود. در مرجع [۷] تابع همبستگی بین مولفه‌های قطبش نوفه بدست آمده و نشان داده شده است که نتایج آن در تطابق کامل با قضیه افت و خیز-اتلاف است. این تابع همبستگی به صورت زیر بیان می‌شود:

$$\langle \mathbf{P}_i^N(\mathbf{r},\omega), \mathbf{P}_j^{N\dagger}(\mathbf{r}',\omega') \rangle = 4\pi\hbar\varepsilon_0 \operatorname{Im} \bar{\chi}_{e,ij}(\mathbf{r},\omega) \delta(\omega+\omega') \delta(\mathbf{r}-\mathbf{r}') \delta_{ij} a_T, \quad (3)$$

۱. مقدمه

در دهه اخیر تبادل تابش گرمایی بین ساختارهای مادی که در فواصل جدایی ناچیزی از یکدیگر قرار گرفته و در تماس فیزیکی با یکدیگر نیستند، به خاطر کاربردهای گسترده‌ای که در حوزه نانوتکنولوژی و فیزیک دارند، بسیار مورد توجه قرار گرفته است. توان گرمایی تبادلی بین اجسامی که در فواصل جدایی بزرگ از یکدیگر هستند از قانون استفان-بولتزمن $P = A\sigma(T_1^4 - T_2^4)$ تعیین می‌کند. اما این قانون در فواصل بسیار کوچکتر از طول موج گرمایی به دلیل تونل‌زنی فوتون‌ها دیگر معتبر نیست. زیرا در مقیاس‌های بزرگ تنها امواج پیش‌رونده در تبادل انرژی نقش دارند، اما در فواصل جدایی کم امواج ناپایا نقش بسیار مهمی را ایفا کرده و باعث افزایش چشم‌گیر انرژی تبادلی بین اجسام خواهد شد. از این‌رو، یک توصیف کاملاً کوانتومی از این سامانه‌ها یک امر ضروری به شمار می‌آید که در آن میدان الکترومغناطیسی به صورت جریانی از فوتون‌ها در نظر گرفته می‌شود.

در سال ۱۹۶۹ نخستین مشاهده‌ی تجربی از تابش غیر عادی بین اجسام در فواصل میکرومتر گزارش شد [۱] و در سال ۱۹۷۱ پولدر و وان هوو بر اساس نظریه الکترودینامیک افت و خیزی ارایه شده توسط رایتوف [۲]، رهیافتی کلی برای محاسبه تابش تبادلی بین اجسام ماکروسکوپی معرفی کردند. تاکنون بر اساس این رهیافت ماکروسکوپی مطالعات فراوانی روی ساختارها و هندسه‌های مختلف صورت گرفته که به عنوان نمونه می‌توان به سامانه‌های شامل دو صفحه‌ی نیمه نامتناهی [۳]، دو جسم کروی که مرکز آن‌ها در فاصله جدایی مشخصی از یکدیگر قرار گرفته‌اند [۴-۵] و یک جسم کروی یا بیضوی شکل در مقابل یک صفحه [۶] اشاره کرد. در این مقاله با بکاربردن رهیافت کانونی در کوانتش میدان الکترومغناطیسی در حضور محیط‌های جاذب، به محاسبه تابش گرمایی منتقل شده از یک کره دی‌الکتریک با دمای T_3 که پوششی کروی شکل با دمای T_1 متفاوت T_2 روی آن نشانده شده به خلاء در دمای T_1 می‌پردازیم. هندسه‌ی کروی بررسی شده در این جا کاملاً متفاوت از ساختارهای کروی شکل بررسی شده در مراجع [۴-۵] هستند.

$$\begin{aligned} \bar{\mathbf{G}}_{es}^{23}(\mathbf{r}, \mathbf{r}') = & \frac{ik_3}{4\pi} \sum_{n=0}^{\infty} \sum_{m=0}^n D_{mn} \{ \mathbf{M}_{\epsilon_{mn}}^{(1)}(k_2) A_M^{23} \mathbf{M}'_{\epsilon_{mn}}(k_3) \\ & + \mathbf{N}_{\epsilon_{mn}}^{(1)}(k_2) A_N^{23} \mathbf{N}'_{\epsilon_{mn}}(k_3) + \mathbf{M}_{\epsilon_{mn}}^{(1)}(k_2) C_M^{23} \mathbf{M}'_{\epsilon_{mn}}(k_3) \\ & + \mathbf{N}_{\epsilon_{mn}}^{(1)}(k_2) C_N^{23} \mathbf{N}'_{\epsilon_{mn}}(k_3) \} \end{aligned} \quad (V)$$

که در آن علامت پرایم نشان دهنده مختصات چشممه و عبارت‌های بدون پرایم بیانگر نقطه میدان، $\mathbf{M}_{\epsilon_{mn}}$ ، $\mathbf{N}_{\epsilon_{mn}}$ و $D_{mn} = (2 - \delta_m^0) \frac{2n+1}{n(n+1)} \frac{(n-m)!}{(n+m)!}$ ویژه توابع برداری کروی هستند که به صورت زیر تعریف می‌شوند:

$$\begin{aligned} \mathbf{M}_{\epsilon_{mn}}(k) = & \mp \frac{m}{\sin \theta} z_n^{(\ell)}(kr) P_n^m(\cos \theta) (\cos) m\varphi \hat{\phi} \\ & - z_n(kr) \frac{dP_n^m(\cos \theta)}{dr} (\cos) m\varphi \hat{\phi}, \end{aligned} \quad (A)$$

$$\begin{aligned} \mathbf{N}_{\epsilon_{mn}}(k) = & \frac{n(n+1)}{kr} z_n^{(\ell)}(kr) P_n^m(\cos \theta) (\cos) m\varphi \hat{r} \\ & + \frac{1}{kr} \frac{d[rz_n^{(\ell)}(kr)]}{dr} \left[\frac{dP_n^m(\cos \theta)}{dr} (\cos) m\varphi \hat{r} \right] \\ & \mp \frac{m}{\sin \theta} P_n^m(\cos \theta) (\cos) m\varphi \hat{\phi}. \end{aligned}$$

در اینجا تابع $z_n^{(\ell)}$ به ازای $\ell = 0$ برابر تابع بسل کروی $h_n^{(1)}(x)$ است و به ازای $\ell = 1$ برابر تابع هنکل کروی $A_{M(N)}$ ، $A_{M(N)}^{23}$ ، $C_{M(N)}^{23}$ ضرایب بسط تانسور گرین هستند که با اعمال شرایط مرزی در $r=a$ ، $r=b$ به صورت زیر بر حسب ضرایب بازتاب و عبور تعیین یافته نوشته می‌شوند:

$$\begin{aligned} A_{M(N)}^{13} = & \frac{T_{F1}^{H,V} T_{F2}^{H,V} T_{P1}^{H,V}}{T_{P1}^{H,V} + T_{F1}^{H,V} R_{F2}^{H,V} R_{P2}^{H,V}}, \quad (9) \\ A_{M(N)}^{23} = & \frac{A_{M(N)}^{13}}{T_{F1}^{H,V}}, \quad C_{M(N)}^{23} = \frac{R_{P1}^{H,V} A_{M(N)}^{13}}{T_{P1}^{H,V}}. \end{aligned}$$

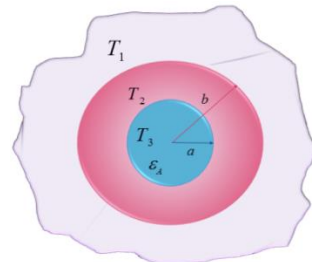
به دلیل طولانی بودن و پیچیده بودن ضرایب عبور و بازتاب از بیان جزئیات آنها در اینجا خودداری می‌کنیم و خواننده را برای اطلاعات بیشتر به مرجع [۸] ارجاع می‌دهیم. بعد از انجام محاسبات بسیار طولانی، بردار پویین‌تینگ در فضای بسالم به صورت زیر به دست می‌آید:

$$\begin{aligned} \langle S_{3 \rightarrow 1}(\mathbf{r}, \omega) \rangle_r = & \oint \sum_{n=0}^{\infty} \sum_{m=0}^n D_{mn}^2 \operatorname{Re} \{ i \mathbf{r} [\chi_{\theta,\varphi}^N \zeta_n^{(1)}(k_1 \mathbf{r}) \zeta_n^{(1)*}(k_1 \mathbf{r}) \\ & + \chi_{\theta,\varphi}^M z_n^{(1)}(k_1 \mathbf{r}) \zeta_n^{(1)*}(k_1 \mathbf{r})] \}, \end{aligned} \quad (10)$$

که در آن $a_T = [2(n_T + \frac{1}{2})]$ است. اکنون با استفاده از روابط (۲) و (۳)، رابطه همبستگی بین مولفه‌های میدان الکتریکی و مغناطیسی به صورت زیر بدست می‌آید:

$$\langle E_i(r, \omega) H_j^\dagger(r, \omega) \rangle = 4\pi \hbar \frac{t\omega^3}{c^2} a_{T_A} \int d \mathbf{r}'' \bar{\bar{G}}_{ik}^E(\mathbf{r}, \mathbf{r}'', \omega) \bar{\bar{G}}_{jk}^{H*}(\mathbf{r}, \mathbf{r}'', \omega) \mathcal{E}_A''. \quad (4)$$

حال سامانه‌ای متتشکل از پوسته‌ای کروی را در نظر می‌گیریم که روی یک کره دیالکتریک نشانده شده و در شرایط ایستا و غیر تعادلی بسر می‌برد (شکل ۱).



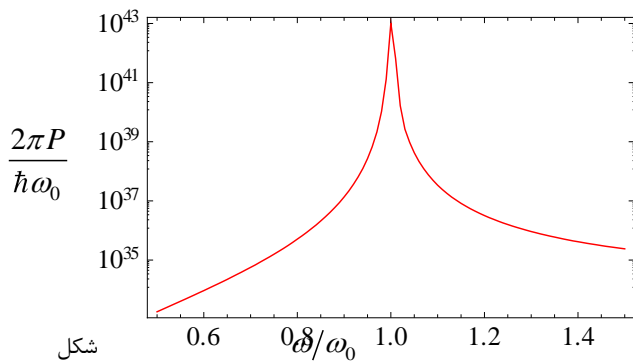
شکل ۱: نمایی از دو کره هم‌مرکز با دمای T_3 ، T_2 در محیط خلاء با دمای T_1 .

لایه‌ها به ترتیب در دماهای متفاوت T_2 و T_3 هستند و در محیط خلا با دمای T_1 قرار گرفته‌اند. بدون کاستن از کلیت مسئله، دمای محیط ۲ را صفر در نظر می‌گیریم. با توجه به این که هدف اصلی ما در این مقاله محاسبه تابش مبادله شده از محیط ۳ به محیط ۱ است، بنابراین به محاسبه شار گرمایی تابشی زیر می‌پردازیم:

$$P_{ab} = \langle S(\mathbf{r}, \omega) \rangle_{3 \rightarrow 2} - \langle S(\mathbf{r}, \omega) \rangle_{3 \rightarrow 1}, \quad (5)$$

همان‌طور که از رابطه بالا و هم‌چنین از روابط (۱) و (۴) مشخص است برای محاسبه بردار پویین‌تینگ در جمله نخست به تانسور گرین الکترومغناطیسی سامانه نیاز داریم که نقاط چشممه و میدان آنها به ترتیب در ناحیه ۳ و ۲ و در جمله دوم در ناحیه‌های ۳ و ۱ قرار گرفته باشند. با استفاده از روش ارائه شده در مرجع [۸]، تانسور گرین سامانه در این ناحیه‌ها به صورت زیر نوشته می‌شود:

$$\begin{aligned} \bar{\bar{G}}_{es}^{13}(\mathbf{r}, \mathbf{r}') = & \frac{ik_3}{4\pi} \sum_{n=0}^{\infty} \sum_{m=0}^n D_{mn} \{ \mathbf{M}_{\epsilon_{mn}}^{(1)}(k_1) A_M^{13} \mathbf{M}'_{\epsilon_{mn}}(k_3) \\ & + \mathbf{N}_{\epsilon_{mn}}^{(1)}(k_1) A_N^{13} \mathbf{N}'_{\epsilon_{mn}}(k_3) \}, \end{aligned} \quad (6)$$



۲: طیف تابش گسیلی از کره پوشش داده شده به ازای پارامترهای $\omega_{p,1}/\omega_0 = 0.2$, $b = 6\mu m$, $a = 5\mu m$, $\gamma_2/\omega_0 = 0.001$, $\gamma_1/\omega_0 = 0.01$ و $\omega_{p,2}/\omega_0 = 0.1$.

۳. نتیجه گیری

در این مقاله بر اساس یک رهیافت کاملاً کوانتومی و میکروسکوپی تابش گرمایی ساطع شده در ساختارهای کروی هم مرکز غیرتعادلی محاسبه شد. در شکل ۲ مشاهده شد که زمانی که شعاع کره و پوشش از مرتبه طول موج گرمایی سامانه در دمای $300^{\circ}C$ کلوین است، دامنه طیف تابش گسیلی در نزدیکی بسامد تشیدید به دلیل غالباً شدن سهم امواج نایایا نسبت به امواج منتشر شونده به شدت افزایش می‌یابد. به علاوه اگرچه در این جا نشان داده نشده است ولی پوشش توانایی افزایش و حتی کاهش تابش گرمایی گسیلی از کره را خواهد داشت.

مراجع

- [1] C. M. Hargreaves, "Anomalous radiative transfer between closely-spaced bodies", Phys. Lett. A 30, 491 (1969).
- [2] D. Polder and M. V. Hove, "Theory of Radiative Heat Transfer between Closely Spaced Bodies", Phys. Rev. B 4, 3303 (1971).
- [3] K. Joulain, J. P. Mulet, F. Marquier, R. Carminati and J. J. Greffet, "Surface electromagnetic waves thermally excited: Radiative heat transfer, coherence properties and Casimir forces revisited in the near field", Surf. Sci. Rep. 57, 59 (2005)
- [4] A. Narayanaswamy and G. Chen, "Thermal near-field radiative transfer between two spheres", Phys. Rev. B 77, 075125 (2008).
- [5] Y. Zheng, and A. Ghanekar, "Radiative energy and momentum transfer for various spherical shapes: A single sphere, a bubble, a spherical shell, and a coated sphere", J. Appl. Phys. 117, 064314 (2015)
- [6] O. Huth, F. R. Utting, S. A. Biehs, and M. Holthaus, "Shape-dependence of near-field heat transfer between a spheroidal nanoparticle and a flat surface", Phys. J. Appl. Phys. 50, 1603 (2010).
- [۷] س. بیاتی، ا. عموقربان، ع. مهدی‌فر، " تبادل تابش گرمایی کوانتومی بین محیط مغناطودی الکتریک و محیط پیرامون در وضیعت غیرتعادلی" مقاله‌نامه کنفرانس فیزیک ایران، ۱۳۹۵ (۷۳۳-۷۳۵)
- [8] L. Le-Wei, K. Pang-Shyan and L. Mook-Seng and Y. Tat-Soon, "Electromagnetic dyadic Green's function in spherically multilayered media", IEEE Trans. Microw. Theory Tech. 42, 2302 (1994)

$$\begin{aligned} \langle S_{3 \rightarrow 2}(\mathbf{r}, \omega) \rangle_r &= \oint \sum_{n=0}^{\infty} \sum_{m=0}^n D_{mn}^2 \operatorname{Re}\left\{ i \mathbf{r} \left[\frac{1}{|T_{F1}^V|} \chi_{\theta, \phi}^N \zeta_n^{(1)}(k_2 \mathbf{r}) \zeta_n^{(1)*}(k_2 \mathbf{r}) \right. \right. \\ &\quad + \frac{1}{|T_{F1}^H|} \chi_{\theta, \phi}^M \zeta_n^{(1)}(k_2 \mathbf{r}) \zeta_n^{(1)*}(k_2 \mathbf{r}) + \frac{|R_{P1}^V|}{|T_{P1}^V|} \chi_{\theta, \phi}^N \zeta_n^{(0)}(k_2 \mathbf{r}) \zeta_n^{(0)*}(k_2 \mathbf{r}) \\ &\quad \left. \left. + \frac{|R_{P1}^H|}{|T_{P1}^H|} \chi_{\theta, \phi}^M \zeta_n^{(0)}(k_2 \mathbf{r}) \zeta_n^{(0)*}(k_2 \mathbf{r}) + \frac{R_{P1}^{V*}}{T_{F1}^V T_{P1}^V} \chi_{\theta, \phi}^N \zeta_n^{(1)}(k_2 \mathbf{r}) \zeta_n^{(0)*}(k_2 \mathbf{r}) \right. \right. \\ &\quad \left. \left. + \frac{R_{P1}^{H*}}{T_{F1}^H T_{P1}^H} \chi_{\theta, \phi}^M \zeta_n^{(1)}(k_2 \mathbf{r}) \zeta_n^{(0)*}(k_2 \mathbf{r}) + \frac{R_{P1}^V}{T_{F1}^V T_{P1}^V} \chi_{\theta, \phi}^N \zeta_n^{(0)}(k_2 \mathbf{r}) \zeta_n^{(1)*}(k_2 \mathbf{r}) \right. \right. \\ &\quad \left. \left. + \frac{R_{P1}^H}{T_{F1}^H T_{P1}^H} \chi_{\theta, \phi}^M \zeta_n^{(0)}(k_2 \mathbf{r}) \zeta_n^{(1)*}(k_2 \mathbf{r}) \right] \right\}, \end{aligned} \quad (11)$$

که در آن $\epsilon = \hbar \omega^3 a_{T_A} \epsilon_A'' |k_3|^2 / 2\pi c^2$ است $\zeta_n^{(\ell)}(k_f \mathbf{r}) = -k_f^2 \zeta_n^{(\ell)}(k_f \mathbf{r})$ و $\xi_n^{(\ell)}(k_f \mathbf{r}) = d[r z_n^{(\ell)}(k_f \mathbf{r})]/dr$ و پارامترهای $\chi_{\theta, \phi}^{N(M)}$ به صورت زیر تعریف می‌شوند:

$$\chi_{\theta, \phi}^N = \frac{|A_N^{13}|^2 \Upsilon_N}{|k_f|^2} \left[\left(\frac{dP_n^m(\cos \theta)}{d\theta} \right)^2 (1 + \sin 2m\phi) \right. \\ \left. + \left(\frac{P_n^m(\cos \theta)}{\sin \theta} \right)^2 (1 - \sin 2m\phi) \right], \quad (12)$$

$$\chi_{\theta, \phi}^M = |A_M^{13}|^2 \Upsilon_M \left[\left(\frac{dP_n^m(\cos \theta)}{d\theta} \right)^2 (1 + \sin 2m\phi) \right. \\ \left. + m^2 \left(\frac{P_n^m(\cos \theta)}{\sin \theta} \right)^2 (1 - \sin 2m\phi) \right]. \quad (13)$$

در اینجا $\Upsilon_{N(M)}$ نیز به صورت زیر تعریف شده‌اند:

$$\Upsilon_N = \frac{(n+m)!}{|k_3|^2 (n-m)!} \left\{ \frac{2(n(n+1))^2}{(2n+1)} I_1 + \left(\frac{1}{m} + \frac{n^2 - m^2 + n}{2n+1} \right) I_2 \right\}, \quad (14)$$

$$\Upsilon_M = \frac{(n+m)!}{(n-m)!} \left(m + \frac{n^2 - m^2 + n}{2n+1} \right) I_3, \quad (15)$$

اکنون با الگوسازیتابع گذرهای الکتریکی پوشش و کره دی‌الکتریک با مدل لورنتس $\epsilon_j = (1 + \frac{\omega_{p,j}^2}{\omega_0^2 - \omega^2 - i\gamma_j \omega})$ که در آن $\omega_{p,j}$ و γ_j به ازای $j = 1, 2$ به ترتیب بیانگر بسامد پلاسمما و ضریب جذب پوشش و کره هستند، نتایج عددی رابطه (۵) در شکل ۲ آورده شده است.